

静的破碎剤を用いた岩質材料の破碎について

山口大学 中川浩二, 山本隆典, 田中英昭
徳山高専 工藤洋三, 橋本堅一

1. はじめに

市街地における岩盤の掘削、破碎やコンクリート構造物の解体は建設工事においてしばしば必要となる。そのための方法として、騒音、振動、荷重、粉塵などを伴なわないいわゆる低公害破碎（解体）工法がいろいろな立場から研究・開発されてきている。

最近開発され、かつ用いられつつあるセメント系静的破碎剤はこの目的をある程度満たすものであるが、その歴史が浅いため膨脹圧の発現やその力学特性の解明もまだ十分ではなく、さらには膨脹圧の発現による岩質材料の破碎の機構に関する資料はほとんどみられない。従ってこれを用いた破碎設計法の確立が望まれるとところである。筆者らは、環境変化にともなう破碎剤の膨脹圧の発現や、破碎剤による岩質材料の破碎条件についてこの研究を進めているが、ここではこの一部を報告する。

2. 静的破碎剤の膨脹圧発現について

セメント系静的破碎剤は、 CaO の水和にともなう膨脹圧と、珪酸塩の水和にともなう硬化の速度がうまく適合するように工夫されたものとされている。そのため膨脹圧の発現に影響を与える要因として種々のものが考えられるが、静的破碎剤を岩質材料の破碎に用いる上で考慮すべき主なものとして、1) 破碎剤と水との重量比（水比）、2) 温度、3) 体積などをあげるとかごきる。

これらの中のうち、水比、温度などによる膨脹圧の発現の変化について、膨脹圧発現が前述の CaO および珪酸塩の水和反応によることを考慮すれば当然と考えられる。しかし、破碎剤を充填する孔の径による発現膨脹圧の変化については検討する必要があると思われ、これに関する簡単な実験を行った。破碎剤としては小野田セメント社製グライスター-150（春秋用）を用いた。まず長さ 50 cm の構造用炭素鋼管の一端を鋼板に溶接する。钢管内に破碎剤を充填し、钢管の外周の高さ 25 cm の位置にはられた電気抵抗線式（ひずみゲージ）により円周方向のひずみを測定し、厚肉円筒測定器により膨脹圧を求めた。ひずみ計測には共和電業社製デジタル測定器 CAM-5A を用いた。また長時間計測にともなうドリフト検定のため、破碎剤を充填しない钢管にはりつけたひずみゲージからの出力をも計測し、ひずみ値が 15 μ 以下であり、ドリフトはほとんど無視できることを確認している。

孔径の変化による膨脹圧の変化を調べるために、钢管内径を 12.7 mm, 17.7 mm, 29.4 mm とした場合に計測された膨脹圧を図 1 に示す。これによると、膨脹圧の発現は前二者ではほぼ完全に一致しているが、29.4 mm のものについてはいくらか早く、程度の時間性過後は逆に低くなる傾向にある。そしてこの場合には、破碎剤と钢管を充填後しばらくして钢管が熱くなるのがみられたために対して、前二者にみられるのは顕著な発熱現象はみられない。このことより、29.4 mm の钢管における膨脹圧の発現が早くなる。

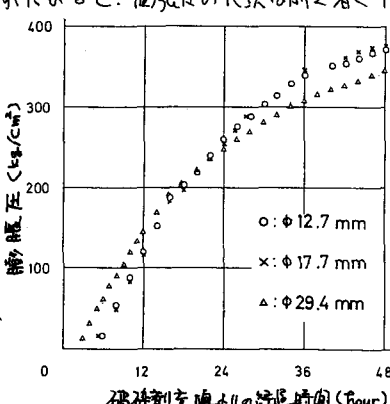


Figure 1: A scatter plot showing the relationship between the time difference from the start of fragmentation (Hour) on the x-axis (0 to 48) and the expansion pressure (kg/cm²) on the y-axis (0 to 400). Three data series are shown for different tube diameters: 12.7 mm (open circles), 17.7 mm (crosses), and 29.4 mm (triangles). All three series show a similar initial rapid increase in expansion pressure followed by a plateau or slight decrease after approximately 24 hours. The 29.4 mm series shows a slightly earlier onset of expansion compared to the others.

Figure 2: A scatter plot showing the relationship between the time difference from the start of fragmentation (Hour) on the x-axis (0 to 48) and the expansion pressure (kg/cm²) on the y-axis (0 to 400). Two data series are shown for different temperatures: 15°C air (triangles) and 14°C water (circles). Both series show a rapid increase in expansion pressure over time, with the air temperature series reaching higher pressures faster than the water temperature series.

Figure 1: 鋼管内径の変化による膨脹圧の差 (kg/cm²) 図-2: 気中と水中における膨脹圧の差 (kg/cm²)

のは、水和熱の発生により水和反応が加速されたためであるとする想である。この点について検討を行うため、水和により発生する熱を吸収すべく、鋼管を水中に保持して計測を行、下図の応力値を、気中における計測値と同じ 29.4 mm 鋼管について図 2 に比較している。水温が若干低く約 14°C 程度であったが、この場合には孔径の大小による実験値とほぼ同じ傾向の結果が得られた。

同一の破碎剤を異なる温度条件で用いるとき、温度が高いときには膨脹圧の発現は早く、温度が低い時になくなることか報告されている。このことを考慮すると、孔径の増加とともに膨脹圧発現の増加は、破碎剤の量の増加とともに水和熱の発生により、破碎剤内部の温度が上昇し、水和反応が加速されることによるものであると考えられる。このことは膨脹圧の発現が気中にあかれた鋼管によって計測されるものと、岩質材料中に発現するものの二つは異なる可能性があることを示しているといえよう。また発熱が顕著とならない場合には膨脹圧の発現は孔径によらないと考えられよう。

3. 静的破碎剤による岩質材料の破碎条件について

爆破により岩盤を破碎する場合にはいわゆるハウザーの公式

$$L = CW^3 \quad (C \text{ は係数}, W \text{ は抵抗線距離})$$

をもとに薬量計算が行なわれる、またスムーズコンクリーティング（含マリスコリ、ティンギ）を行なう場合には孔間隔は 60 cm ~ 1 m 程度とされるのが普通であり、その場合にも孔の長さ当たりの薬量が半実験的にきめられる。

これにくらべて、静的破碎剤を用いて岩質材料の破碎を行なう場合には、爆破における薬量に対するようすを考えるには今のところ見られず、程度的に 36 ~ 42 mm 程度の孔径に対する孔間隔が漠然と与えられてよいようである。しかし破碎剤を用いる場合には孔径の壁が大きな意味をもつ。すなはち破碎剤は穿いたれた孔を完全に充填して使用されるため、孔径の増大は破碎剤の使用量を著しく大きくし、破碎の経済性に大きな影響を与える。ここではスムーズコンクリーティングなどが必要とされるようす一つの破断面と岩質材料中に発生させるために必要な孔径と孔間隔についての検討を行なうこととする。

いま図 3 のように、一つの破断面に沿う岩質材料の破断を考え、孔径の孔を孔間隔で配慮したとする。その時各孔に充填された破碎剤の膨脹により孔からクラックが放射状に発生・発達し、かつ隣接孔からの応力場の影響を受け孔間のクラックによる連結が生じて破断面が形成される。すなはち破碎剤の膨脹とともにクラックの発生・発達はクラック先端の応力集中と周囲の応力場の状態により支配されることとなり、非常に複雑な現象となる。このことを考慮すると、このクラックの発生・発達に関する厳密な解析は困難であるといえよう。

この簡単のため、クラックの発生・発達を無視し二つの孔の合意状態を考える。いま長さ l にわたる破断面の形成を、孔径 D の孔を孔間隔 a に穿つことにより行なうとする。孔内の膨脹圧が P_e にならなければ、この破断面に沿って破断を生じようとする力は孔の単位深さ当たり $\pi D P_e$ として与えられる。このに対し

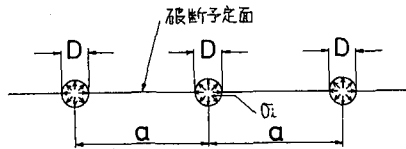


図-3 破断面定面での孔の配置

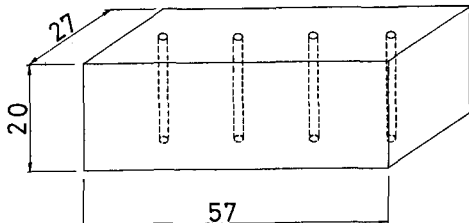


図-4 供試体の概形

	設計強度	圧縮強度	引張強度
1	180	246	26.6
2	300	341	28.9
3	400	417	31.5

表-1. 用いたコンクリートの強度

孔径 (mm)	6	5	4	3	2	円柱
8.5	52.0	42.5	34.5	25.5		8.5
	10.9	13.4	16.8	22.3		17.6
10.0	60.0	50.0	40.0	30.0		10.0
	9.5	11.4	14.25	19.0		15.0
12.5	75.0	62.5	50.0	37.5		12.5
	7.6	9.1	11.4	15.2		12.0
15.0	90.0	75.0	60.0	45.0		15.0
	6.3	7.6	9.5	12.7		10.0
18.0	90.0	72.0	54.0			18.0
	6.3	7.9	10.6			8.3
22.0	上段: (3孔) (3孔)	88.0	66.0	44.0	22.0	
		6.5	8.6	12.9	6.8	
26.0	下段: (3孔) (3孔)		78.0	52.0	26.0	
			7.3	11.0	5.8	

表-2. 供試体中の孔径と孔数

これに対して、破断に抵抗する破断面の強度は、

$$(l-mD)\sigma_t$$

(ただし σ_t は材料の引張強度) とえられ、両者が等しくなる時に破断が生じると考えると次式が与えられる。

$$mDT_i = (l-mD)\sigma_t$$

しかし実際には破断面の形状は孔壁からのクラックの発生・発達によつて生じるため、上式にある係数を乗じた式

$$\beta mDT_i = (l-mD)\sigma_t$$

-----①

を考えられる。係数 β は破断されるべき材料の定数であり、特に材料の脆性度などどの影響を大きく受けると考えられる。こゝでは上式の有効性を検討するための実験を行つてゐる。

1) 供試体

供試体の形状は、 $\phi 15 \times 30$ cm の円柱供試体および図4に示すよう $\phi 57 \times 27 \times 20$ cm の直方体供試体である。供試体材料にはレディミクストコンクリートを用い、最大骨材寸法 20 mm、スランプ 8 cm とした。設計強度は、円柱供試体については 300 kg/cm^2 、直方体供試体については $180, 300, 400 \text{ kg/cm}^2$ の 3 種のものを用ひている。それぞれの材料の干渉圧縮および引張(剝離)強度を表1に示す。円柱供試体では供試体中央に 1 本、直方体供試体では長手方向中心線上に沿つて 2 ～ 6 本の孔を所定の孔径、孔間隔等は供試体底に等しいと設計した。作製した供試体の孔径、孔数を表2に示す。表2には対応する孔数、孔径に対して、(孔数) × (孔径) および(孔間隔)/(孔径) の値を記入している。

孔は打設時に所定の位置を埋め込み、コンクリートの半硬化後引き抜くことにより作製している。また打設後 1 日で脱型、その後湿润状態を保つように努め、材齡 1 週で実験に供してゐる。直方体供試体の場合、破断予定面と垂直な方向の破断、分離を防ぐ目的で、6 mm 丸鋼を供試体の外壁に沿つて、破断予定面の両側に 2 段に配筋している。

2) 充填、観察、計測

温度 15°C 、湿度 60% の恒温室内に、破碎剤充填 12 時間前に供試体を搬入し、湿度条件の保持に努めた。破碎剤充填 6 時間後より一時間毎に供試体表面を観察し、表面にあけたクラ

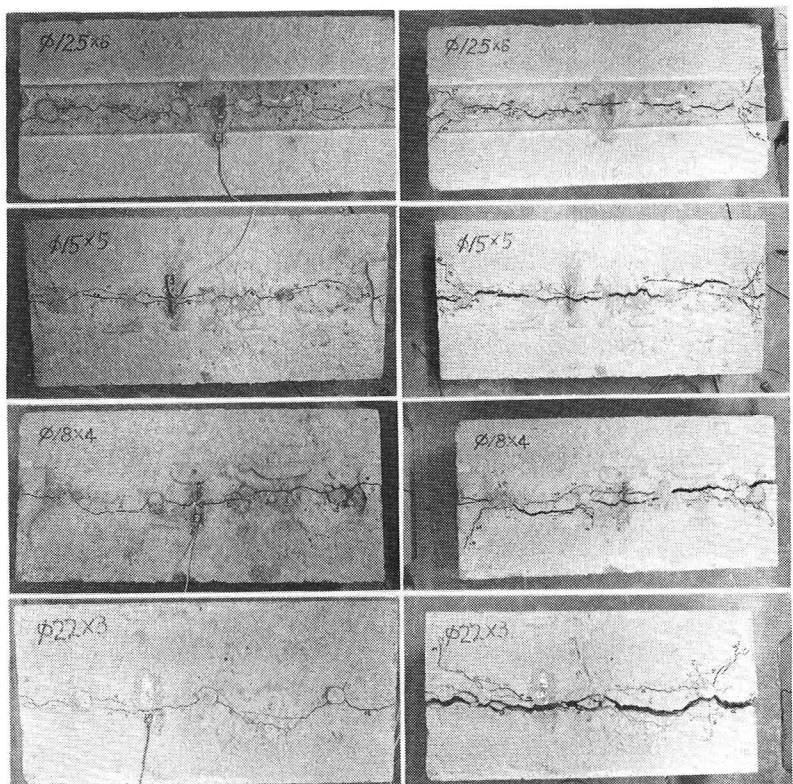


写真 破碎剤による破断面の形成と成長 左:充填24時間、右:充填48時間。
こゝでは上式の有効性を検討するための実験を行つてゐる。

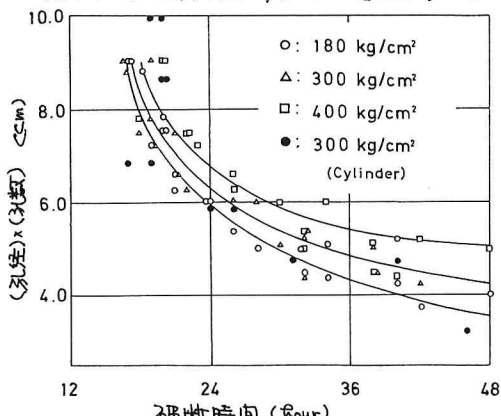


図5 (孔数) × (孔数) の増加による破断時間の変化。

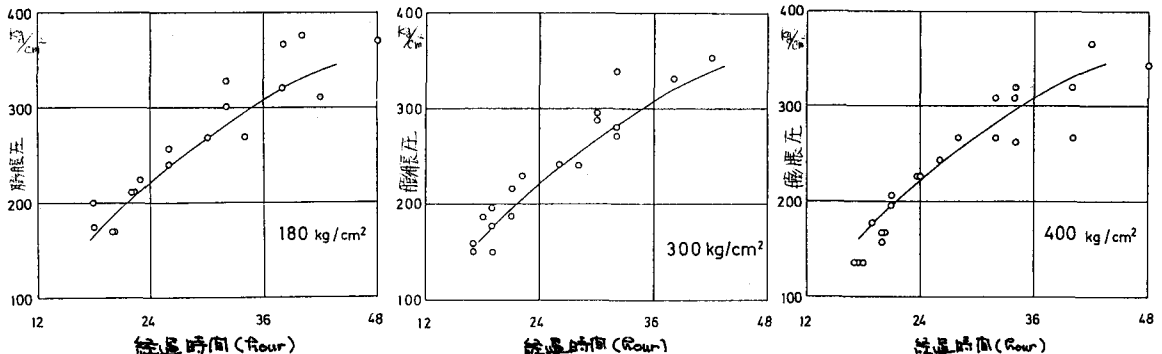


図-6 計算強度180kg/cm²の供試体中の
圧縮膨脹圧

図-7 計算強度300kg/cm²の供試体中の
圧縮膨脹圧

図-8 計算強度400kg/cm²の供試体中の
圧縮膨脹圧

クラックの発生、発達を観察、記録した。破碎剤に対する水比は30%，温度は15°Cである。供試体表面に発生するクラックには種々のレベルのものがあるが、肉眼で可視となるものをクラックとして扱い、円柱供試体ではクラックが供試体を横切った状態、直角供試体ではクラックが連続し、供試体を横断した状態をもって供試体が破断したとした。

3. 結果と考察

代表的な供試体について破碎剤充填後24時間および48時間後の供試体表面の写真例を示す。24時間後では、発生したクラックはまだ写真で判別できるほどには拡がっていない。クラックをインクでトレースして示している。48時間後にはクラックの幅は大きく拡がっている。明瞭な分離を示している。このことは図1および図2にみられるように24時間以後48時間に至るまでの間に破碎剤が大きく膨脹したということを示している。また最高に発生するクラックはかなりずしも孔間を直線的に連結するものではなく、屈曲の程度は孔間が大きいほど大きい。そして大きく拡大するクラックばかりではなく最も最初に発生したクラックとは随らなりことが認められる。

供試体破断時の破碎剤充填からの時間と供試体の(孔数n) × (孔径D)に対応して示したもののが図5である。図によると若干のばらつきはあるが、そのどの配合のコンクリートに対しても供試体のn × Dの値により破断時間が与えられるようである。この図には円柱供試体の実験結果を(孔間隔)/(孔径)に対応して(供試体の直径)/(孔径)に換算して併せて示している。

先に示した式(1)によると破断のための条件が与えられたとすると破断時刻における孔内の膨脹圧は

$$\sigma_c = (l - nD) \sigma_e / (nMD) \quad \dots \dots \dots (2)$$

となる。すなまち、この式は鋼管を用いて計測された膨脹圧と一致すべきことになる。そこで各配合のコンクリートごとに $(l - nD) \sigma_e / nMD$ を求め、破断時間に対応する膨脹圧を示したもののが図6～8である。ここで比較のため仮に $\beta = 1$ とし、鋼管により計測された膨脹圧の値を併せて示している。鋼管による膨脅圧は、実験から15°Cまで行なわれた熱膨張率が生じたか、たるものとして孔径17.7mm、気中にありて計測したものと用いている。これらの図より $\beta = 1$ において破断時刻より推定される膨脅圧は、鋼管により計測される膨脅圧と良い一致を示している。式(1)の考え方で破断条件が与えられることを示しているといえよう。いま係数 β は破碎剤充填からのクラックが発達する距離により影響され、係数と考えられ、前述のように材料の性質(特に脆性など)により支配される。しかし、本実験で用いたコンクリート供試体においては若干の差はあるが、配合にかかわらず $\beta = 1$ とおくことによりほぼその破断時刻を $n \times D$ の値から予測できるようである。

4. 謝辞

本研究を行うにあたり、小野田セメント(株)より破碎剤ブライスター-150の提供をいただいた。ここに謝意を表する。また実験に当り、山口大学ならびに徳山高専の学生諸君の協力を得たことに併せて感謝する。

Static demolition of rock-like materials

Koji Nakagawa, Yozo Kudo, Ken-ichi Hashimoto,
Takanori Yamamoto and Hideaki Tanaka

Static demolisher, which expands gradually by hydration of CaO and some kind of silicates, seems to be useful in rock excavation or demolition of old buildings in urban area.

In this study, the condition between the hole diameter and the hole spacing which give the contour formation in a mass of rock-like materials was discussed. Then a simple formula

$$k n D \sigma_i = (l - n D) \sigma_t$$

which gives the contour formation condition was proposed and its applicability was confirmed experimentally. Here, l and D are the contour length and hole diameter respectively. σ_i is the swelling pressure of the demolisher and σ_t is the tensile strength of the material. n is the number of holes and k is a material constant.

A series of experiments were conducted by using concrete specimen and demolisher "Brister 150" by Onoda Cement Co. Ltd.. With the constant $k=1$, the crack formation through the specimen was predicted using the formula.